

На правах рукописи

АГ

ГИРИЧ  
Александр Сергеевич

ЭКСПРЕССИЯ ГЕНОВ СИГНАЛЬНОГО ПУТИ WNT ПРИ РЕГЕНЕРАЦИИ У  
ГОЛОТУРИИ *EUPENTACTA FRAUDATRIX*

03.03.05 – биология развития, эмбриология

АВТОРЕФЕРАТ  
Диссертация на соискание ученой степени  
кандидата биологических наук

Владивосток – 2015

Работа выполнена в лаборатории сравнительной цитологии Федерального государственного бюджетного учреждения науки Институт биологии моря им. А.В. Жирмунского Дальневосточного отделения Российской академии наук

**Научный руководитель:**

доктор биологических наук, старший научный сотрудник Долматов Игорь Юрьевич

**Официальные оппоненты:**

**Григорян Элеонора Норайровна**, доктор биологических наук, старший научный сотрудник, Федеральное государственное бюджетное учреждение науки Институт биологии развития им. Н.К. Кольцова Российской академии наук, заведующий лабораторией проблем регенерации

**Киселев Константин Вадимович**, кандидат биологических наук, Федеральное государственное бюджетное учреждение науки Биолого-почвенный институт Дальневосточного отделения Российской академии наук, ведущий научный сотрудник лаборатории биотехнологии

**Ведущая организация:**

Федеральное государственное бюджетное учреждение науки Институт цитологии Российской академии наук

Захиса диссертации состоится «27» марта 2015 г. в 13 часов на заседании диссертационного совета Д 005.008.01 при Федеральном государственном бюджетном учреждении науки Институт биологии моря им. А.В. Жирмунского Дальневосточного отделения Российской академии наук по адресу:

690041, г. Владивосток, ул. Пальчевского, д. 17.

Факс: (423)2310-900, e-mail: inmarbio@mail.ru

Отзывы просим присыпать на e-mail: mvaschenko@mail.ru

С диссертацией можно ознакомиться в библиотеке и на сайте Федерального государственного бюджетного учреждения науки Институт биологии моря им. А.В. Жирмунского Дальневосточного отделения Российской академии наук:  
<http://wwwimb.dvo.ru/misc/dissertations/index.php/sovet-d-005-008-01/16-girich-aleksandr-sergeevich>

Автореферат разослан

«2 » февраля 2015 г.

Ученый секретарь  
диссертационного совета,  
кандидат биологических наук

Вашченко

Вашченко Марина  
Александровна

## ОБЩАЯ ХАРАКТЕРИСТИКА РАБОТЫ

Одним из важнейших компонентов морфогенетических механизмов являются сигнальные молекулы. Они взаимодействуют со специфическими рецепторами и запускают каскад внутриклеточных реакций, активирующих целевые гены. Примером таких сигнальных молекул могут служить белки семейства Wnt. Запускаемый ими каскад реакций, сигнальный путь Wnt, участвует в регуляции многих биологических процессов, в частности, в формировании осей тела в эмбриогенезе, развитии ряда органов, регенерации и канцерогенезе (Logan, Nusse, 2004; Reya, Clevers, 2005; Poustka et al., 2007; Mashanov et al., 2012). Гены *wnt* выявлены у всех многоклеточных животных, от губок до насекомых и млекопитающих. Кроме белков Wnt, выполняющих роль лигандов, в состав сигнального пути Wnt входят рецепторы Frizzled и LRP5/6, а также внутриклеточные мессенджеры Dishevelled и  $\beta$ -catenin (Komiya, Habas, 2008). Большое число *wnt* и их участие в широком спектре биологических процессов указывает на важность сигнального пути Wnt в жизнедеятельности многоклеточных животных.

Одной из важнейших функций сигнального пути Wnt является регуляция восстановительных процессов. Регенерация является универсальной адаптацией к повреждающему действию окружающей среды и свойственна в той или иной степени всем живым организмам (Лиознер, 1982; Карлсон, 1986). Показано, что у планарий в регуляции восстановительного процесса важную роль играют гены *wnt1* и *wnt2* (Petersen, Reddien, 2009). Кроме того, участие *wnt* в регенерации отмечено у широкого круга животных – губок, книдарий, колчачных червей, асцидий и амфибий (Lengfeld et al., 2009; Petersen, Reddien, 2009; Philip et al., 2009; Lin et al., 2012; Takeo et al., 2013).

Удобными модельными объектами для изучения различных аспектов регенерации являются голотурии. Они способны в ответ на внешние раздражители эвисцирировать (выбрасывать) внутренние органы и затем полностью их восстанавливать (Emson, Wilkie, 1980; Долматов, Машанов, 2007). Недавно было показано, что у голотурий при регенерации активируются гены семейства Wnt: *wnt2*, *wnt6* и *wnt9* (Mashanov et al., 2012, 2014; Sun et al., 2013). В настоящее время достаточно подробно исследованы морфологические и биохимические аспекты регенерации у голотурии *Eupentacta fraudatrix* (Dolmatov, 1992; Долматов, Гинанова, 2001; Mashanov et al., 2005, 2008; Lamash, Dolmatov, 2013). С помощью методов масс-спектрометрии было показано, что в



регенерирующих органах у данного вида присутствует белок Wnt5 (Гирич и др., 2011). Кроме того, анализ транскриптомов зачатков регенерирующих органов на начальных стадиях восстановления показал наличие в них фрагментов транскриптов генов семейств *wnt* и *frizzled*, а также генов *dishevelled* и *β-catenin*. Полученные данные указывают на участие сигнального пути Wnt в регуляции регенерации у *E. fraudatrix* (Долматов, 2013).

Целью данной работы была идентификация ряда генов сигнального пути Wnt (*wnt*, *frizzled*, *dishevelled* и *β-catenin*) и изучение их экспрессии в норме и при регенерации после эвисцерации у голотурии *E. fraudatrix*.

**Задачи исследования:**

- 1) Изучить локализацию клеток, содержащих белок Wnt5, и динамику изменения их числа в норме и при регенерации после эвисцерации у голотурии *E. fraudatrix*.
- 2) Провести анализ нуклеотидных последовательностей транскриптов генов сигнального пути Wnt, обнаруженных в транскриптомах зачатков внутренних органов голотурии *E. fraudatrix*.
- 3) Установить нуклеотидные последовательности кодирующей части генов семейства Wnt, экспрессирующихся при регенерации после эвисцерации у голотурии *E. fraudatrix*.
- 4) Определить органы и ткани, в которых происходит активация генов сигнального пути Wnt при регенерации после эвисцерации у *E. fraudatrix*.
- 5) Оценить активность экспрессии генов семейства Wnt в норме, а также при регенерации после эвисцерации у голотурии *E. fraudatrix*.

**Научная новизна.** Впервые для иглокожих исследовано распределение белка Wnt5 в тканях в процессе регенерации. У *E. fraudatrix* клетки с Wnt5 располагаются преимущественно в радиальном нервном тяже и гиподерме. Показано, что число Wnt5-положительных клеток возрастает через 7–10 сут после эвисцерации, в период активного морфогенеза. Это указывает на то, что Wnt5 и активируемый им сигнальный путь являются неотъемлемой частью механизмов восстановления внутренних органов у *E. fraudatrix*. Впервые для голотурий отряда Dendrochirotida были установлены нуклеотидные последовательности кодирующей части 4 генов семейства *wnt* – *wntA*, *wnt4*, *wnt6* и *wnt16*. Нуклеотидные последовательности транскриптов *wnt4*, *wntA* и *wnt16* были получены впервые для голотурий. Проведен анализ экспрессии *wntA*, *wnt4*, *wnt6* и *wnt16* в процессе регенерации: *wnt6* – впервые для голотурий отряда Dendrochirotida, а *wnt4* и

*wnt16* – впервые для типа Echinodermata. Впервые для многоклеточных животных показано участие гена *wntA* в регенерации. Кроме того, впервые для иглокожих было установлено, что *frizzled1/2/7*, *frizzled4*, *frizzled5/8* и *dishevelled* экспрессируются при регенерации.

**Теоретическое и практическое значение работы.** Результаты работы по определению нуклеотидных последовательностей генов *wnt* голотурий позволяют глубже понять происхождение и эволюционную динамику белков Wnt. Полученные данные по экспрессии генов сигнального пути Wnt дополняют и расширяют наши представления об участии Wnt-сигналинга в регенерации иглокожих и других организмов. Кроме того, результаты наших исследований являются вкладом в изучение молекулярных механизмов регенерации у многоклеточных животных. Полученный фактический материал свидетельствует, что сигнальный путь Wnt является важной и неотъемлемой частью механизмов восстановления. Понимание конкретных механизмов восстановительных морфогенезов у голотурий поможет в решении общих вопросов теории регенерации, а также в разработке методов активации восстановительных потенций органов у млекопитающих, в частности у человека.

**Личный вклад автора** заключается в сборе материала, фиксации, проведении иммуноцитохимических реакций и анализе препаратов, биоинформационном анализе нуклеотидных последовательностей исследуемых генов в транскриптоме, подготовке материала и проведении полимеразной цепной реакции (ПЦР), ПЦР в реальном времени (qPCR), быстрой амплификации концов кДНК (RACE), самостоятельном анализе полученных данных и подготовке публикаций.

**Апробация работы.** Результаты исследований были доложены на ежегодных научных конференциях ИБМ ДВО РАН (Владивосток, 2012, 2013, 2014); на Всероссийской научной конференции «Регенеративная биология и медицина» (Москва, 2011); на 14-й международной конференции по иглокожим (Brussels, 2012); на Всероссийской конференции с международным участием «Физиологические, биохимические и молекулярно-генетические механизмы адаптаций гидробионтов» (Борок, 2012); на Всероссийской конференции с международным участием «Эмбриональное развитие, морфогенез и эволюция» (Санкт-Петербург, 2013).

**Публикации.** По теме диссертации опубликовано 6 работ, в том числе три статьи в отечественных журналах из списка, рекомендованного ВАК.

**Структура и объем диссертации.** Диссертация изложена на 116 страницах и состоит из введения, обзора литературы, материалов и методов, результатов, обсуждения, выводов и списка литературы. Работа содержит 44 иллюстрации (рисунка). Список литературы состоит из 166 наименований, из них 151 на иностранных языках.

**Благодарности.** Выражаю благодарность всем сотрудникам лаборатории сравнительной цитологии ИБМ ДВО РАН за разностороннее содействие и поддержку, оказанную в ходе проведения работы. Сердечно благодарю своего научного руководителя д.б.н. И.Ю. Долматова за интересную и актуальную тему исследования, помошь и руководство на всем протяжении исследовательской работы и оформления диссертации, а также за ценные советы и рекомендации. Отдельную благодарность выражаю к.б.н. М.Г. Елисейкиной за помощь в освоении методов иммуноцитохимии, к.б.н. Е.В. Шамшуриной за обучение методам qPCR, а также к.б.н В.В. Паньковой за обучение методам молекулярной биологии. Также особую благодарность выражаю к.м.н. М.П. Исаевой и всем сотрудникам лаборатории морской биохимии ТИБОХ за неоценимую помощь в обучении методам RACE и проведении исследований. Кроме того, хотел бы поблагодарить к.б.н. Е.Н. Толкунову (лаборатория молекулярной биологии стволовых клеток Института цитологии РАН) за возможность стажировки и помошь в освоении методов молекулярной биологии.

*Работа выполнена при финансовой поддержке РФФИ (гранты № 11-04-00408, 14-04-00239), ДВО РАН (гранты № 13-III-B-06-117, 14-III-B-06-067) и Правительства РФ (грант № 11.G34.31.0010).*

## ОСНОВНОЕ СОДЕРЖАНИЕ РАБОТЫ

### Материалы и методы

Исследования выполнены на голотурии *Eupentacta fraudatrix* Djakonov et Baranova (Holothuroidea, Dendrochirotida). Отлов животных проводили в зал. Петра Великого Японского моря. Эвисцерацию вызывали инъекцией в полость тела дистиллированной воды (Лейбсон, Долматов, 1989). При определении стадий регенерации внутренних органов использовали схему, представленную в работе Ламаш и Долматова (Lamash, Dolmatov, 2013).

Для иммуноцитохимических исследований брали переднюю четверть тела животного, в которой содержался аквафарингеальный комплекс (АК) и начальные отделы кишки. Неповрежденных особей и голотурий через 3, 5, 7, 9, 12, 14 и 24 сут после эвисцерации фиксировали 4% параформальдегидом на 0,1 М фосфатном буфере (рН 7,4) в течение часа. На каждый срок регенерации брали по три особи. Срезы толщиной 5–14 мкм изготавливали на криотоме Cryo-Star HM 560 MV. Для выявления белка Wnt5 использовали поликлональные кроличьи антитела, полученные на искусственный пептид GTNGSTLMCCGRGYNSFTK, идентичный участку молекулы Wnt5 *E. fraudatrix*. Срезы изучали и фотографировали с помощью конфокального микроскопа LSM 510 META.

Транскриптомы зачатков АК и кишки *E. fraudatrix* на 3, 5 и 7 сут регенерации анализировали с помощью ресурсов [www.ncbi.nlm.nih.gov](http://www.ncbi.nlm.nih.gov) и программ Blast, Mega, Gene Runner, Ugene. На основе полученных последовательностей транскриптов проводили дизайн праймеров, используя программу Primer Premier 5. Концевые участки транскриптов генов определяли с помощью метода RACE. Полученные кодирующие последовательности использовали для построения филогенетических деревьев. С помощью ПЦР изучали наличие продуктов генов у интактных животных в гонаде, водных лягушках, кишке, продольных мышечных лентах, стенке тела и АК, а также в заднем зачатке кишки (33) через 3, 5, 7, 10, 14 и 20 сут после эвисцерации.

Динамику активности генов оценивали с помощью метода qPCR и статистической обработки данных в программе Microsoft Excel 2010. Анализировали АК и передний участок кишки интактных голотурий, а также зачатки этих органов (ПЗ) через 3, 5, 7, 10, 14 и 20 сут после эвисцерации.

## РЕЗУЛЬТАТЫ И ОБСУЖДЕНИЕ

### **Распределение белка Wnt5 в тканях *E. fraudatrix* в норме и при регенерации**

В нашем исследовании было обнаружено, что у неповрежденных голотурий Wnt5-положительные клетки в небольшом числе присутствуют только в соединительной ткани стенки тела (гиподерме) и в эктонейральной части радиальных нервных тяжей (рис. 1, 2А, Б). В соединительной ткани клетки имеют округлую форму, не образуют отростки и располагаются преимущественно на внешней границе гиподермы (рис. 2А). В нервных тяжах одиночные Wnt5-положительные клетки лежат на периферии эктонейральной

части нервов (рис. 2Б). Они имеют длинные отростки, уходящие во внутреннюю часть тяжа. Кроме того, единичные клетки с меткой были выявлены в целоме.

Через 3–5 сут после эвисцерации (2–3 стадии) число меченых клеток у голотурий возрастало (рис. 1). В соединительной ткани они образовывали небольшие скопления (рис. 2В). По форме эти клетки отличались от таковых в норме: клетки удлинялись, у них появлялись отростки. Белок Wnt5 присутствовал также в цитоплазме некоторых амебоцитов, находящихся в полостях органов амбулакральной системы (рис. 2Г). В неповрежденной части нервных тяжей антителами окрашивались почти все клетки периферии эктонеуральной части радиального нерва (рис. 2Д). Кроме того, белок Wnt5 выявлялся и в растущих концах радиальных нервных тяжей, расположенных в зачатке АК (рис. 2Е). Достаточно интенсивная метка была обнаружена в апикальной части клеток целомического эпителия интеррадиусов стенки тела (рис. 2Ж).

Через 6–7 сут после эвисцерации (стадия 4) мезентерий, на котором формируется зачаток кишки, содержал многочисленные отростки клеток, маркирующиеся антителами к Wnt5 (рис. 2З). В самом зачатке кишки и покрывающем его целомическом эпителии Wnt5-положительные клетки отсутствовали. Относительное число Wnt5-положительных клеток в соединительной ткани на данной стадии регенерации увеличивалось до  $11 \pm 2,3\%$  (рис. 1). Они встречались не только в гиподерме стенки тела, но и во внутренних областях зачатка АК, где были представлены как отдельными клетками, так и достаточно крупными скоплениями.

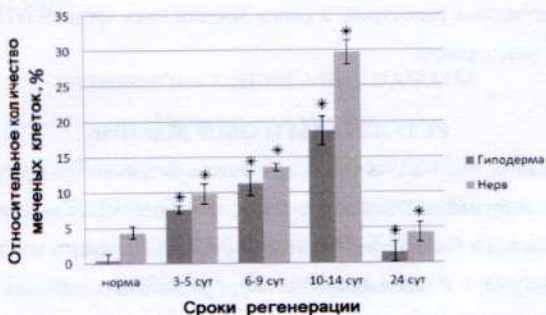
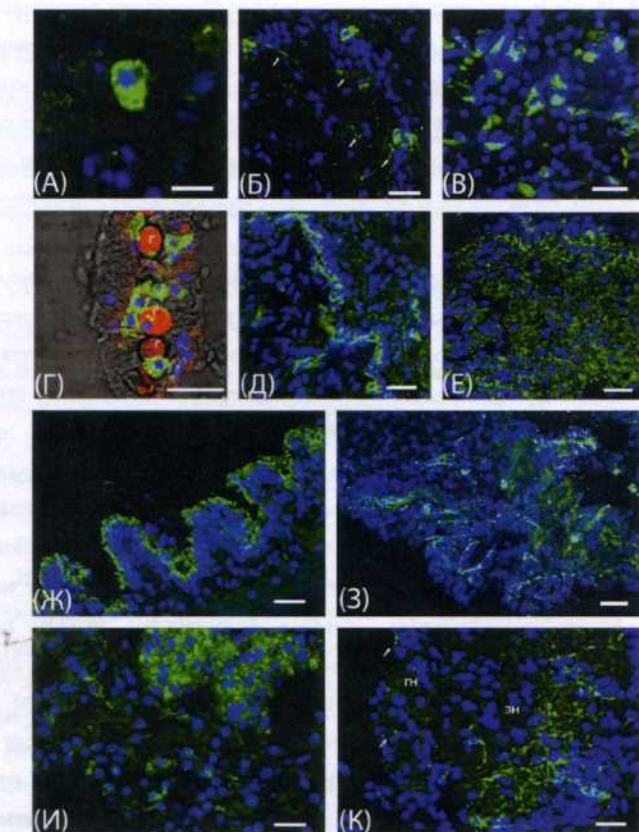


Рис. 1. Изменение количества Wnt5-положительных клеток в радиальных нервах и соединительной ткани у голотурий *Eupentacta fraudatrix* при регенерации. Данные представлены как среднее значение  $\pm$  SE ( $N = 9$ ). Звездочкой обозначены статистически достоверные изменения ( $P < 0,05$ ).



**Рис. 2.** Распределение Wnt5-положительных клеток в тканях голотурии *Eupentacta fraudatrix*. А – гиподерма в норме, Б – радиальный нерв в норме, В – гиподерма на 3 сут регенерации, Г – ампюла амбулакральной ножки на 3 сут регенерации, Д – радиальный нерв на 3 сут регенерации, Е – нерв зачатка АК на 3 сут регенерации, Ж – целомический эпителий на 3 сут регенерации, З – кишечный мезентерий на 7 сут регенерации, И – зачаток АК на 7 сут регенерации, К – радиальный нерв на 7 сут регенерации. Условные обозначения: г – гемоциты, гн – радиальный гипонейральный тяж, эн – радиальный эктонейральный тяж. Стрелками обозначены отростки нервных клеток. Масштаб: А – 10 мкм, Б–К – 20 мкм.

В этот период возрастила активность экспрессии исследуемого гена и в нервной системе. Белок Wnt5 выявлялся в большинстве клеток эктонейральной части нервного тяжа и в отдельных нейронах гипонейральной части. Относительное число меченых клеток составляло  $13,5 \pm 0,4\%$  (рис. 1).

Через 10–14 сут после эвисцерации (стадии 5 и 6) характер распределения Wnt5-положительных клеток в тканях голотурий сохранялся. Как и на предыдущей стадии, белок Wnt5 присутствовал в клетках соединительной и нервной ткани, в амебоцитах и апикальной части перитонеоцитов целомического эпителия интеррадиусов стенки тела. При этом число меченых клеток в радиальном нервном тяже и гиподерме по сравнению с предыдущей стадией увеличилось и достигло своих максимальных значений, 29% и 17% соответственно.

В дальнейшем, через 24 сут после эвисцерации, белок Wnt5 выявлялся лишь в нервах стенки тела и редких эллипсовидных клетках в гиподерме. Такое распределение меченых клеток близко к норме. Снизилось и число Wnt5-положительных клеток (рис. 1).

Наше исследование показало, что при регенерации внутренних органов у *E. fraudatrix* происходит активация синтеза Wnt5. Уже через 3 сут после эвисцерации (стадия 2) клетки с Wnt5 обнаруживаются в соединительной ткани, нервных тяжах, амебоцитах и целомическом эпителии. Целомический эпителий играет важную роль в регенерации у иглокожих (Долматов, 1999). Он первым реагирует на повреждение и уже на ранних сроках восстановления его клетки начинают мигрировать и митотически делиться. Из клеток целомического эпителия формируются мышцы и выстилки перифарингеального целома и кишki (Dolmatov, 1992; Dolmatov, Ginanova, 2001; Murray, García-Algarás, 2004; Mashanov et al., 2005). Возможно, что именно Wnt5 регулирует преобразование клеток целомического эпителия. Участие Wnt5 в контроле клеточной миграции подтверждается данными по другим животным. У позвоночных при развитии некоторых видов опухолей молекулы Wnt5 воздействуют на раковые клетки, запуская процесс миграции, приводящий к появлению метастазов (Witze et al., 2008). Экспрессия Wnt5 в радиальных нервах при восстановлении у *E. fraudatrix* указывает, что данный белок участвует и в регуляции регенерации нервной системы. Сходную функцию выполняет продукт гомологичного гена *Smed-Wnt5* у планарий. У этих животных Wnt5 является регулятором формирования и роста нервной системы (Adell et al., 2009).

### **Экспрессия гена *wntA* в норме и при регенерации у *E. fraudatrix***

Нами было показано, что кодирующая последовательность транскрипта гена *wntA* имеет длину 1035 нуклеотидов. Она соответствует аминокислотной последовательности в 345 аминокислотных остатков (а.о.), включающей начальный метионин и стоп-кодон. В составе белковой молекулы имеются 24 остатка цистеина в высоко консервативных местах. Филогенетический анализ данной последовательности показал, что *wntA* *E. fraudatrix* имеет наибольшую гомологию с *wnt4* морского ежа *Strongylocentrotus purpuratus* (XP\_797603.1) – 56%, и с *wntA* представителя полухордовых *Saccoglossus kowalevskii* (NM001171247.1) – 47% (рис. 3).

Нами было установлено, что в норме у *E. fraudatrix* *wntA* активен в водных легких, гонаде, кишке и стенке тела, однако не экспрессируется в мышцах. Различие в экспрессии *wntA* между стенкой тела и мышцами не совсем понятно. У иглокожих целомический эпителий стенки тела содержит большое число миоэпителиальных клеток (García-Algarás, Dolmatov, 2010). Кроме того, в раннем онтогенезе морских ежей и голотурий миоциты соматической мускулатуры формируются за счет клеток целомического эпителия (Долматов, Ивантеев, 1993; Dolmatov et al., 2007). При этом промежуточной стадией является образование миоэпителиальных клеток, что указывает на общее происхождение всей сократительной системы у *Echinodermata* (Dolmatov, 2010). Разница в экспрессии *wntA* между мышцами и стенкой тела дает основание предположить, что, несмотря на родство, регуляция тканевого гомеостаза миоцитов и миоэпителиальных клеток у иглокожих различна.

Активность *wntA* в ЗЗ наблюдалась начиная с 10 сут после эвисцерации (стадия 5). К этому моменту зародыш уже сформирован и растет по мезентерию вперед (Долматов, Машанов, 2007). В нем происходит пролиферация энтероцитов и их специализация. По-видимому, *wntA* участвует в регуляции этих процессов.

В ПЗ экспрессия *wntA* начинается намного раньше. Уже на стадии 2 регенерации (3 сут после эвисцерации) уровень его активности увеличивается по сравнению с контролем более чем в 5 раз (рис. 4). В этот период начинают запускаться основные механизмы регенерации – происходит активация клеточной миграции, пролиферации, дедифференцировки (Dolmatov, 1992). Своего максимума экспрессия *wntA* достигает на стадии 4 (7 сут после эвисцерации), когда в ПЗ происходит активный морфогенез и закладываются основные структуры передней части кишки и АК. При этом относительный уровень экспрессии превышает норму более чем в 10 раз. В дальнейшем, через 10–20 сут (стадии 5–8), активность гена снижается, но остается достоверно выше

нормы. Исследований, посвященных роли *wntA* при регенерации у других животных, нет. В раннем развитии он может экспрессироваться как в энто- и мезодерме (Guder et al., 2006; Robert et al., 2014), так и в эктодерме (Bolognesi et al., 2008). Такое разнообразие зачатков, в которых активируется *wntA*, возможно, указывает на древность его происхождения.

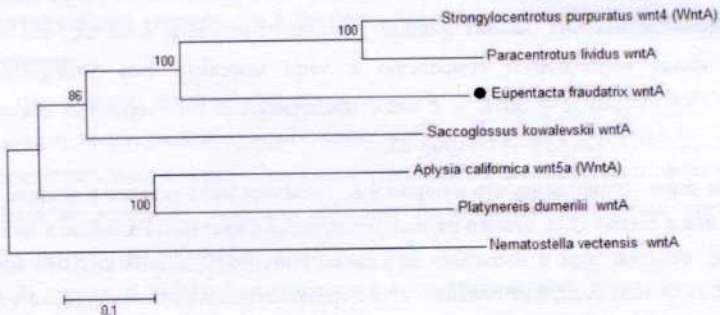


Рис. 3. Филогенетическое дерево транскриптов *wntA* различных животных, построенное с помощью метода «Neighbor-Joining». Масштаб показывает эволюционное расстояние, соответствующее 10 заменам на каждые 100 аминокислот. Цифрами показана достоверность ветвления 100 альтернативных деревьев с помощью bootstrap-анализа.

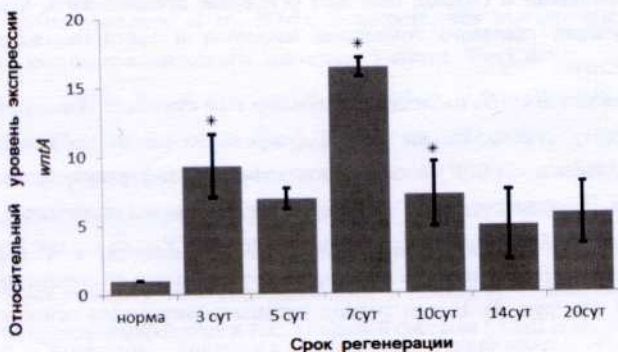


Рис. 4. Относительный уровень экспрессии гена *wntA* при регенерации аквафарингеального комплекса и переднего зачатка кишечника *Eupentacta fraudatrix*. Значения нормализованы по референсному гену – актину. Данные представлены как среднее значение  $\pm$  SE (N = 9). Значения нормы приняты в качестве 1. Звездочкой обозначены статистически достоверные изменения (P < 0,05).

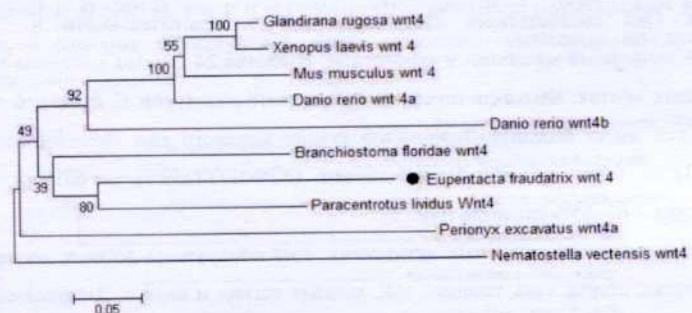
### **Экспрессия гена *wnt4* в норме и при регенерации у *E. fraudatrix***

Кодирующая последовательность транскрипта гена *wnt4* имеет длину 1077 нуклеотидов. Она соответствует аминокислотной последовательности в 359 а.о., включающей начальный метионин и стоп-кодон. Имеются 24 остатка цистеина в высоко консервативных местах. Филогенетический анализ *wnt4* голотурии *E. fraudatrix* показал, что данный ген имеет большую гомологию с *wnt4* морского ежа *Paracentrotus lividus* (AHY22359.1) – 69%, с *wnt4* *S. kowalevskii* (XP002737259.1) – 63% и с *wnt4* млекопитающих – 63–65% сходства (рис. 5).

У неповрежденных животных активность *wnt4* обнаружена во всех исследуемых органах: мышцах, стенке тела, гонадах, АК, водных легких и кишке. Это указывает, что данный ген участвует в регуляции различных физиологических процессов. Наши результаты соответствуют данным, полученным на других животных. Показано, что у млекопитающих мутации по этому гену приводят к нарушениям функционирования половых органов (Biason-Lauber et al., 2007). Кроме того, у позвоночных Wnt4 регулирует формирование нервно-мышечных контактов и соотношение быстрых и медленных мышечных волокон (Strochlic et al., 2012).

При формировании 33 экспрессия *wnt4* наблюдалась на всех сроках восстановления. С помощью qPCR было показано, что уровень экспрессии *wnt4* в неповрежденных АК и кишке относительно невысок (рис. 6). Эвисцерация, видимо, вызывает быструю активацию *wnt4*, поскольку уже через 3 сут после удаления внутренностей (стадия 2) уровень экспрессии достигает своих максимальных значений. Далее через 5 сут экспрессия гена уменьшается и вновь достоверно увеличивается на стадии 4, в период активного морфогенеза (7 сут после эвисцерации). Повышение экспрессии *wnt4* указывает, что он участвует в регуляции закладки основных структур переднего конца тела – АК и кишки. В период с 10 по 14 сут после эвисцерации уровень активности гена снижается, но остается достоверно выше нормы. У *E. fraudatrix* через 8–12 сут после эвисцерации (стадии 5 и 6) в АК запускаются механизмы кальцификации, в результате чего формируется окологлоточное известковое кольцо (Dolmatov, 1992). В этой связи интересны недавно полученные данные о том, что у млекопитающих *wnt4* регулирует процесс обызвествления костной ткани (Yu et al., 2014). Необычным оказалось статистически достоверное увеличение активности *wnt4* через 20 сут после эвисцерации (стадия 8). В этот период регенерация внутренних органов уже завершена и происходит

увеличение их размеров (Mashanov et al., 2005; Долматов, Машанов, 2007). Возможно, *wnt4* регулирует ростовые процессы в сформированных структурах.



**Рис. 5.** Филогенетическое древо транскриптов *wnt4* различных животных, построенное с помощью метода «Neighbor-Joining». Масштаб показывает эволюционное расстояние, соответствующее 5 заменам на каждые 100 аминокислот. Цифрами показана достоверность ветвления 100 альтернативных деревьев с помощью bootstrap-анализа.

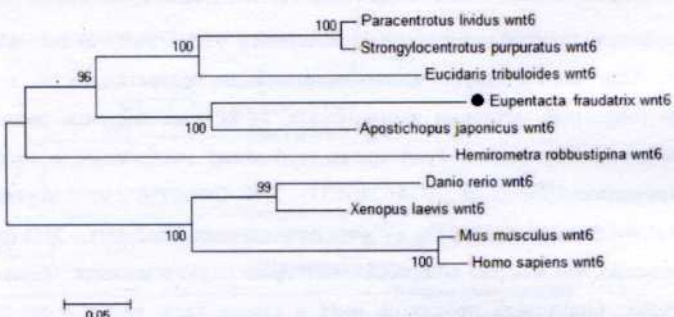


**Рис. 6.** Относительный уровень экспрессии гена *wnt4* при регенерации аквафарингеального комплекса и переднего зачатка кишечника *Eupentacta fraudatrix*. Значения нормализованы по актину. Данные представлены как среднее значение  $\pm$  SE (N = 9). Значения нормы приняты в качестве 1. Звездочкой обозначены статистически достоверные изменения (P < 0,05).

## Экспрессия гена *wnt6* в норме и при регенерации у *E. fraudatrix*

Кодирующая последовательность транскрипта гена *wnt6* имеет длину 1077 нуклеотидов. Она соответствует аминокислотной последовательности в 359 а.о., включающей начальный метионин и стоп-кодон. 24 остатка цистеина расположены в высоко консервативных местах. Транскрипт *wnt6* имеет наибольшее сходство с *wnt6* голотурии *Apostichopus japonicus* (AGA62464.1) – 71%. Сходство с *wnt6* морских ежей *S. purpuratus* и *P. lividus* составляет 62%, а с *wnt6* позвоночных животных – 55% (рис. 7).

Установлено, что в норме экспрессия *wnt6* происходит в мышцах, гонадах, водных лёгких и кишке. Отсутствие продуктов *wnt6* в стенке тела, как и в случае с *wnt4*, возможно, указывает на различие в регуляции гомеостаза миоцитов и миоэпителиальных клеток. При регенерации динамика экспрессии *wnt6* имела пикообразный характер. В ПЗ голотурий до 7 сут после эвисцерации активность его не отличалась от нормы (рис. 8). Через 7 сут (стадия 4) отмечено резкое возрастание уровня экспрессии, а затем, через 10 сут, такое же резкое снижение. Сходным образом, вероятно, происходит изменение экспрессии *wnt6* и в заднем конце животного. Транскрипты *wnt6* обнаруживаются в 33 только на 7 сут после эвисцерации. Этот период характеризуется началом формирования пищеварительной системы у *E. fraudatrix* (Mashanov et al., 2005). Именно через 7 сут после эвисцерации закладываются передний и задний зачатки кишки. В этой связи можно предположить участие *wnt6* в запуске процесса формирования пищеварительной системы у *E. fraudatrix*, что согласуется с данными по другим голотуриям. В частности, у *A. japonicus* при регенерации кишки активность *wnt6* возрастает, достигая максимума на 7 сут, и в дальнейшем постепенно уменьшается (Sun et al., 2013). В этот период у *A. japonicus* начинается активная дедифференцировка клеток остатка пищевода и формирование переднего зачатка кишки (Шукалюк, Долматов, 1999). Пикообразный характер экспрессии *wnt6*, возможно, указывает на то, что у голотурий этот ген является переключателем, запуская или, наоборот, блокируя какие-то процессы, связанные с дедифференцировкой клеток.



**Рис. 7.** Филогенетическое древо транскриптов *wnt6* различных животных, построенное с помощью метода «Neighbor-Joining». Масштаб показывает эволюционное расстояние, соответствующее 5 заменам на каждые 100 аминокислот. Цифрами показана достоверность ветвления 100 альтернативных деревьев с помощью bootstrap-анализа



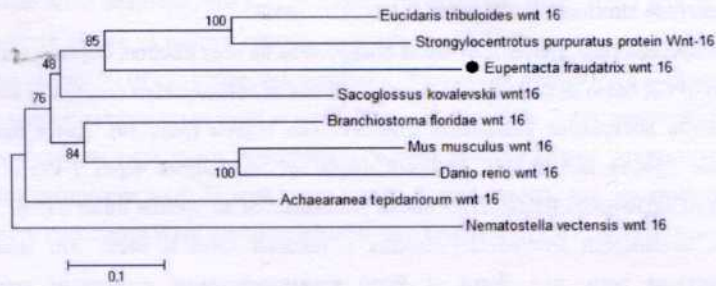
**Рис. 8.** Относительный уровень экспрессии гена *wnt6* при регенерации аквафарингеального комплекса и переднего зачатка кипки *Eupentacta fraudatrix*. Значения нормализованы по актину. Данные представлены как среднее значение  $\pm$  SE ( $N = 9$ ). Значения нормы приняты в качестве 1. Звездочкой обозначены статистически достоверные изменения ( $P < 0.05$ ).

### Экспрессия гена *wnt16* в норме и при регенерации у *E. fraudatrix*

Кодирующая последовательность транскрипта гена *wnt16* имеет длину 1056 нуклеотидов. Она соответствует аминокислотной последовательности в 352 а.о., включающей начальный метионин и стоп-кодон. Имеются 23 остатка цистеина в высоко консервативных местах. Аминокислотная последовательность транскрипта данного гена имеет 49% гомологию с *wnt16 S. kowalevskii* (EU931648.1) и 45% гомологию с *wnt16 P. lividus* (KJ000375.1) (рис. 9).

Было показано, что экспрессия *wnt16* у неповрежденных особей *E. fraudatrix* происходит в водных легких, гонаде и кишке. Для позвоночных было установлено, что Wnt16 через неканонический сигналинг активирует сигнальный путь Notch, который, в свою очередь, контролирует дифференцировку стволовых клеток (Clements et al., 2011). Возможно, что у *E. fraudatrix* в половых трубочках он регулирует формирование яйцеклеток и сперматозоидов из первичных половых клеток.

При формировании ПЗ данный ген активен только на 5 сут после эвисцерации (стадия 3). У *E. fraudatrix* в этот период начинается трансдифференцировка клеток целомического эпителия в энteroциты (Mashanov et al., 2005). При этом клетки дедифференцируются и начинают активно митотически делиться. В результате этого они, возможно, приобретают некоторые свойства стволовых клеток. В этой связи можно предположить, что *wnt16* через сигнальный путь Notch участвует в регуляции трансдифференцировки. При формировании 33 транскрипты *wnt16* были найдены на 3 и 10 сут. Функция *wnt16* при восстановлении задней части кишки пока не ясна. Для решения этого вопроса необходимы дополнительные исследования.



**Рис. 9.** Филогенетическое дерево транскриптов *wnt16* различных животных, построенное с помощью метода «Neighbor-Joining». Масштаб показывает эволюционное расстояние, соответствующее 10 заменам на каждые 100 аминокислот. Цифрами показана достоверность ветвления 100 альтернативных деревьев с помощью bootstrap-анализа.

#### Экспрессия *β-catenin*, *dishevelled* и рецепторов *frizzled* у *E. fraudatrix*

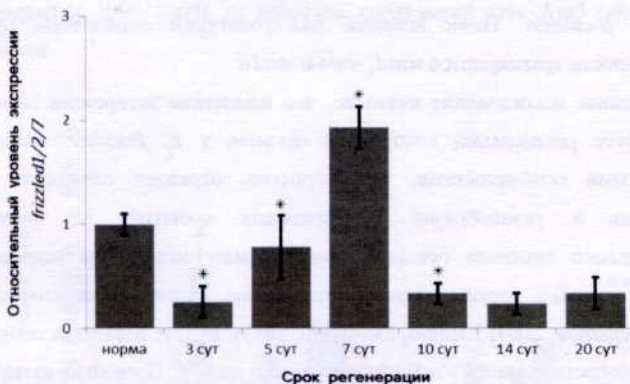
Анализ транскриптов регенерирующих органов *E. fraudatrix* выявил наличие фрагментов транскриптов генов семейства Frizzled, а также генов *β-catenin* и *dishevelled*. Транскрипты *β-catenin* были обнаружены на ранних этапах регенерации (3 и 5 сут после эвисцерации). В транскриптах зародышей на 3, 5 и 7 сут регенерации были выявлены

транскрипты гена *dishevelled*. Белки Dishevelled и  $\beta$ -catenin являются важными участниками сигнальных путей Wnt (Eisenmann, 2005; Komiya, Habas, 2008). В этой связи не удивительно, что при регенерации *E. fraudatrix* нами были обнаружены транскрипты *dishevelled* и  $\beta$ -catenin. Лигандами для  $\beta$ -catenin-зависимого сигнального пути могут быть Wnt4, Wnt6 и Wnt16 (Lyons et al., 2004; Jiang et al., 2014; Cawthorn et al., 2012).

У *E. fraudatrix* были обнаружены транскрипты трех рецепторов семейства Frizzled – *frizzled1/2/7*, *frizzled4*, *frizzled5/8*. Транскрипты *frizzled4* были найдены только в транскриптоме зародышей на 3 сут регенерации (стадия 2). У *E. fraudatrix* в этот период наблюдается экспрессия *wntA* и *wnt4*. Возможно, что на ранних этапах восстановления эти лиганды взаимодействуют с Frizzled4, инициируя транскрипцию генов, необходимых для начала регенерации.

Экспрессия *frizzled5/8* обнаружена на 3 и 5 сут регенерации. Имеются данные, что у амфибий рецептор *frizzled5/8* способен взаимодействовать с Wnt5, обеспечивая запуск неканонического сигнального пути (Kuhl et al., 2000). У *E. fraudatrix* экспрессия *frizzled5/8* совпадает с увеличением числа Wnt5-положительных клеток, что, вероятно, указывает на взаимодействие лиганда Wnt5 с рецептором Frizzled5/8.

Экспрессия гена *frizzled1/2/7* была обнаружена на всех стадиях формирования ПЗ. С помощью qPCR было показано, что через 3 сут после эвисцерации (стадия 2) количество транскриптов достоверно снижается относительно нормы (рис. 10). Далее происходит увеличение уровня экспрессии, который достигает максимума через 7 сут (стадия 4). После этого активность *frizzled1/2/7* вновь уменьшается до уровня ниже нормы. В целом динамика активности *frizzled1/2/7* сходна с таковой *wntA* и *wnt6*. Это может быть свидетельством того, что WntA и Wnt6 взаимодействуют с данным рецептором. Корреляция экспрессии *frizzled1/2/7* и *wnt6* наблюдается и у морского ежа *P. lividus* (Robert et al., 2014), что согласуется с нашими данными.



**Рис. 10.** Относительный уровень экспрессии гена *frizzled1/2/7* при регенерации аквафарингеального комплекса и переднего зачатка кишки *Eupentacta fraudatrix*. Значения нормализованы по референсному гену – актину. Данные представлены как среднее значение  $\pm$  SE ( $N = 9$ ). Значения нормы приняты в качестве 1. Звездочкой обозначены статистически достоверные изменения ( $P < 0,05$ ).

Также было показано, что у *E. fraudatrix* транскрипты *frizzled1/2/7* присутствуют в заднем зачатке кишки на ранних стадиях регенерации (3–5 сут после эвисцерации, стадии 2 и 3) и на стадии 5 (10 сут после эвисцерации). Экспрессия *frizzled1/2/7* в 33 совпадает в какой-то мере с активностью *wntA* и *wnt4*. В то же время, на 7 сут после эвисцерации, когда транскрипты гена этого рецептора в заднем зачатке кишки отсутствуют, здесь выявляется экспрессия *wnt6*. В этой связи можно предположить, что, по крайней мере, в задней части голотурии *Wnt6* взаимодействует не с *Frizzled1/2/7*, а с другим рецептором.

### ЗАКЛЮЧЕНИЕ

Наше исследование показало, что сигнальный путь Wnt играет большую роль в жизнедеятельности голотурий. У *E. fraudatrix* были обнаружены продукты пяти генов семейства Wnt: *wntA*, *wnt4*, *wnt5*, *wnt6* и *wnt16*. Таким образом, имеются лиганда, запускающие как канонический (*Wnt4*, *Wnt6*) (Lyons et al., 2004; Jiang et al., 2014), так и неканонический сигналинг (*Wnt5*, *WntA*) (Philipp et al., 2009; Robert et al., 2014). *Wnt16* способен активировать оба вида сигнальных путей (Jiang et al., 2014; Clements et al., 2011). Кроме лигандов, были выявлены и другие компоненты сигнального пути Wnt – транскрипты генов рецепторов *frizzled1/2/7*, *frizzled4*, *frizzled5/8*, а также мессенджеров

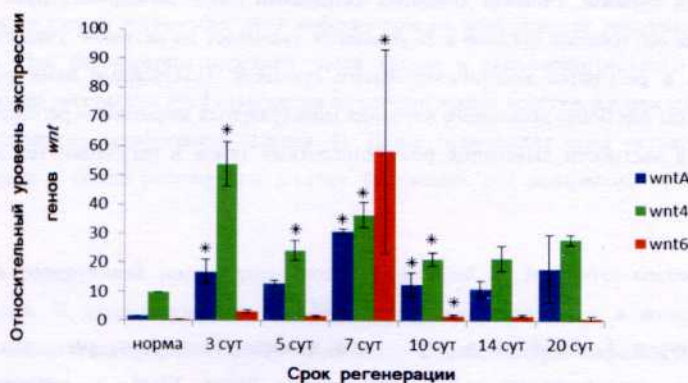
*dishevelled* и  $\beta$ -*catenin*. Нами впервые для голотурий определены нуклеотидные последовательности транскриптов *wntA*, *wnt4* и *wnt16*.

Проведенное исследование показало, что изменение экспрессии генов семейства Wnt в процессе регенерации внутренних органов у *E. fraudatrix* характеризуется индивидуальными особенностями, что, вероятно, отражает сложность механизмов восстановления и разнообразие происходящих событий. На первых этапах восстановительного процесса основную роль играют механизмы вывода клеток из стабильного состояния, переключения работы генома, синтеза межклеточного вещества (Долматов, Машанов, 2007; Lamash, Dolmatov, 2013). В этот период активируются гены *wnt4* и *wntA*, возрастает число Wnt5-положительных клеток. Поскольку активность *wnt4* в этот период достигает максимума (рис. 11), именно Wnt4 является основным кандидатом на роль лиганда, запускающего процессы миграции и дедифференцировки, аналогично Wnt4 у позвоночных (Zhang et al., 2014). Кроме того, возрастание числа Wnt5-положительных клеток в нервных клетках указывает на активацию нервной системы. Хорошо известно, что восстановительный процесс протекает успешно только при иннервации регенерирующего органа (Карлсон, 1986; Короткова, 1997).

Следующим важным этапом восстановления передних структур *E. fraudatrix* является начало формирования кишечной выстилки на 3 стадии регенерации (5 сут после эвисцерации) (Mashanov et al., 2005; Долматов, Машанов, 2007). Запускается процесс трансдифференцировки клеток целомического эпителия. В этот период активность большинства изученных генов *wnt* снижается. Однако только на 5 сут после эвисцерации отмечается экспрессия *wnt16*. Можно предположить, что Wnt16 участвует в механизмах активации трансдифференцировки у голотурий.

Основной стадией регенерации передних структур у *E. fraudatrix* является стадия 4 (6–7 сут после эвисцерации). В этот период закладываются все основные структуры АК: формируется амбулакральный колыцевой сосуд, нервное колыцо, щупальца и другие органы амбулакральной системы (Dolmatov, 1992; Долматов, Машанов, 2007). На данной стадии экспрессия *wntA*, *wnt6* и *frizzled1/2/7* достигает своих максимальных значений за весь период восстановления (рис. 10, 11). При активном формировании органов особо необходим контроль над расположением клеток, которым, возможно, управляет *wntA* (Guder et al., 2006). Число Wnt5 положительных клеток у *E. fraudatrix* еще более увеличивается. Поскольку у иглокожих большую роль в регенерации играет клеточная

миграция (Долматов, 1999, 2009), то, вероятно, сигнальный путь Wnt5 также активирует миграцию клеток.



**Рис. 11.** Относительный уровень экспрессии генов *wntA*, *wnt4* и *wnt6* при регенерации аквафарингеального комплекса и переднего зачатка кишки *E. fraudatrix*. Значения нормализованы по актину. Данные представлены как среднее значение  $\pm$  SE ( $N = 9$ ). Значения экспрессии *wnt6* в норме приняты в качестве 1. Звездочкой обозначены статистически достоверные изменения.

Экспрессия гена *wnt6* на этой стадии регенерации увеличивается более чем в 10 раз, по относительному уровню превышая другие исследуемые гены. У позвоночных Wnt6 участвует в регуляции развития мускулатуры и ряда эпителиальных тканей (Lavery et al., 2008). По всей видимости, у *E. fraudatrix* *wnt6* выполняет сходную функцию, являясь частью механизмов дифференцировки клеток при формировании мышц и целомического эпителия.

На стадиях 5 и 6 (8–14 сут после эвисцерации) основные структуры АК и переднего отдела кишки уже сформированы, и происходит дифференцировка и специализация входящих в них клеток. Этот период характеризуется максимальным содержанием Wnt5-положительных клеток в нервной системе и соединительной ткани (рис. 1). Очевидно, что Wnt5 задействован в регуляции восстановления нервной системы и синтезе внеклеточного матрикса. Экспрессия *wnt6* падает до уровня нормы и в дальнейшем более не увеличивается. Также снижается количество транскриптов *wntA*. Активность *wnt4* постепенно уменьшается к 14 сут, однако уровень экспрессии этого гена даже на 20 сут

## **СПИСОК РАБОТ, ОПУБЛИКОВАННЫХ ПО ТЕМЕ ДИССЕРТАЦИИ**

### ***Статьи в журналах из списка, рекомендованного ВАК:***

1. Гирич А.С., Долматов И.Ю., Ламаш Н.Е. Распределение белка Wnt5 в тканях голотурий *Eupentacta fraudatrix* (Holothuroidea, Dendrochirota) в норме и при регенерации // Биология моря. 2014. Т. 40, № 1. С. 70–75.
2. Гирич А.С., Долматов И.Ю. Экспрессия генов сигнального пути Wnt при регенерации и бесполом размножении у голотурий // Тихоокеанский медицинский журнал. 2014. Т. 55, № 1. С. 31–33.
3. Долматов И.Ю., Бобровская Н.В., Гирич А.С. Иглокожие как модельные объекты для изучения механизмов регенерации // Вестник Санкт-Петербургского университета. Серия 3: Биология. 2014. № 3. С. 96–112.

### ***Работы в сборниках трудов и материалах конференций:***

4. Girich A.S., Dolmatov I.Y., Lamash N.E., Eliseikina M.G. Wnt5 gene expression in holothurian *Eupentacta fraudatrix* regeneration // 14<sup>th</sup> International Echinoderm Conference, 20–24 August 2012, Brussels. Conference booklet. Brussels, 2012. P. 103–104.
5. Гирич А.С., Долматов И.Ю., Ламаш Н.Е., Елисейкина М.Г. Белок Wnt5 при регенерации после эвисцерации голотурий *Eupentacta fraudatrix* // Физиологические, биохимические и молекулярно-генетические механизмы адаптаций гидробионтов. Материалы Всероссийской конференции с международным участием. Борок: Изд-во ФГБУН ИБВВ, 2012. С. 85–87.
6. Гирич А.С., Долматов И.Ю., Исаева М.П. Гены семейства Wnt, экспрессирующиеся при регенерации у голотурий *Eupentacta fraudatrix* // Эмбриональное развитие, морфогенез и эволюция. Всероссийская конференция с международным участием. Санкт-Петербург: Изд-во ВВМ, 2013. С. 117–118.

Александр Сергеевич Гирич

Экспрессия генов сигнального пути Wnt при регенерации  
у голотурии *Eupentacta fraudatrix*

03.03.05 – биология развития, эмбриология

Автореферат  
диссертации на соискание ученой степени  
кандидата биологических наук

Подписано в печать 21.01.2015.  
Формат 60×84/16. Усл. печ. л. 1,00.  
Тираж 100 экз. Заказ 009.

Отпечатано в типографии  
Дирекции публикационной деятельности ДВФУ  
690990, Владивосток, ул. Пушкинская, 10